

Partie I

$$1) a) \left. \begin{aligned} \operatorname{div} \vec{E} &= \frac{\rho}{\epsilon_0}, \quad \operatorname{div} \vec{B} = 0, \quad \operatorname{rot} \vec{E} = -\frac{\partial \vec{B}}{\partial t} \\ \operatorname{rot} \vec{B} &= \mu_0 \vec{j} + \frac{1}{c^2} \frac{\partial \vec{E}}{\partial t} \end{aligned} \right\}$$

b)  $\operatorname{div} \vec{B} = 0 \Rightarrow$  il existe  $\vec{A}$  tel que  $\vec{B} = \operatorname{rot} \vec{A}$

$\operatorname{rot} \vec{E} + \frac{\partial \vec{B}}{\partial t} = \vec{0} \Leftrightarrow \operatorname{rot} \left( \vec{E} + \frac{\partial \vec{A}}{\partial t} \right) = \vec{0}$

$\Rightarrow$  il existe  $V$  tel que  $\vec{E} = -\operatorname{grad} V - \frac{\partial \vec{A}}{\partial t}$

c) Pour calculer  $\operatorname{rot} \left( \frac{1}{2} \vec{B}_\perp \vec{r} \right)$  prenons un repère  $Oxyz$  tel que  $\vec{B} = B \vec{u}_y$ . Alors :

$$\frac{1}{2} \vec{B}_\perp \vec{r} = \frac{1}{2} \begin{vmatrix} 0 & & x \\ 0 & 1 & y \\ B & & z \end{vmatrix} = \frac{1}{2} \begin{vmatrix} -By \\ Bx \\ 0 \end{vmatrix}$$

$$\text{et } \operatorname{rot} \left( \frac{1}{2} \vec{B}_\perp \vec{r} \right) = \begin{vmatrix} \frac{\partial}{\partial x} & & \\ \frac{\partial}{\partial y} & 1 & \\ \frac{\partial}{\partial z} & & \end{vmatrix} \begin{vmatrix} -\frac{1}{2} By \\ \frac{1}{2} Bx \\ 0 \end{vmatrix} = \begin{vmatrix} 0 \\ 0 \\ \frac{1}{2} B - (-\frac{1}{2} B) \end{vmatrix} = \vec{B}$$

Donc  $\frac{1}{2} \vec{B}_\perp \vec{r}$  est un potentiel vecteur possible

d)  $\operatorname{rot} \vec{B} = \vec{0}$  car c'est un champ uniforme

$$\operatorname{rot} \vec{r} = \begin{vmatrix} \frac{\partial}{\partial x} & & x \\ \frac{\partial}{\partial y} & 1 & y \\ \frac{\partial}{\partial z} & & z \end{vmatrix} = \vec{0}$$

donc  $\operatorname{div} \vec{A} = \operatorname{div} \left( \frac{1}{2} \vec{B}_\perp \vec{r} \right) = \frac{1}{2} \vec{B} \cdot \operatorname{rot} \vec{r} - \frac{1}{2} \vec{r} \cdot \operatorname{rot} \vec{B} = \vec{0}$

2) a) \*  $(M, \vec{u}_\rho, \vec{u}_z)$  est plan de symétrie donc :

$$\vec{B}(M) \parallel \vec{u}_\theta$$

$$\vec{A}(M) \perp \vec{u}_\theta$$

car  $\vec{B}$  est un pseudo-vecteur

car  $\vec{A}$  est un vrai vecteur

\*  $(M, \vec{u}_\rho, \vec{u}_\theta)$  est plan d'antisymétrie donc:

(2)

$$\vec{B}(M) \perp \vec{u}_z \quad \text{et} \quad \vec{A}(M) // \vec{u}_z$$

Conclusion pour les symétries:  $\vec{B}(M) = B(\rho, \theta, z) \vec{u}_\theta$

$$\vec{A}(M) = A(\rho, \theta, z) \vec{u}_z$$

\* Invariance par translation // à  $Oz$  et par rotation autour de  $Oz$   
donc  $B(\rho, \theta, z)$  et  $A(\rho, \theta, z)$  ne dépendent ni de  $z$ , ni de  $\theta$ .

Conclusion:  $\vec{B}(M) = B(\rho) \vec{u}_\theta$  et  $\vec{A}(M) = A(\rho) \vec{u}_z$

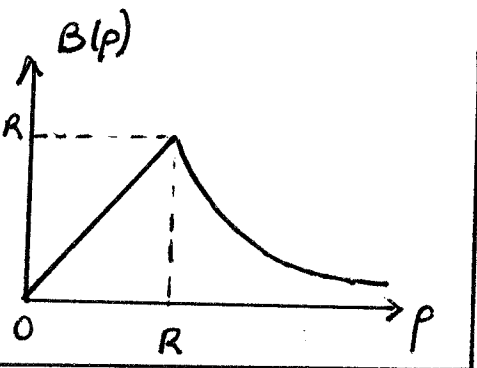
b) Théorème d'Ampère pour un cercle d'axe  $Oz$ , de rayon  $\rho$  quelconque orienté dans le sens direct autour de  $Oz$ :

$$2\pi\rho B(\rho) = \mu_0 I_{\text{enlacé}}$$

$$\text{avec } I_{\text{enlacé}} = \begin{cases} \pi\rho^2 j & \text{si } \rho < R \\ \pi R^2 j & \text{si } \rho > R \end{cases}$$

Donc:

$$B(\rho) = \begin{cases} \frac{1}{2} \mu_0 j \rho & \text{si } \rho < R \\ \frac{1}{2} \mu_0 j \frac{R^2}{\rho} & \text{si } \rho > R \end{cases}$$



c) On a  $\text{rot } \vec{A} = \vec{B}$  rot, d'après la formule du rotationnel en cylindriques:

$$-\frac{dA(\rho)}{d\rho} \vec{u}_\theta = B(\rho) \vec{u}_\theta$$

D'où

$$A(\rho) = \begin{cases} -\frac{1}{4} \mu_0 j \rho^2 + C & \text{si } \rho < R \\ -\frac{1}{2} \mu_0 j R^2 \ln \rho + C' & \text{si } \rho > R \end{cases}$$

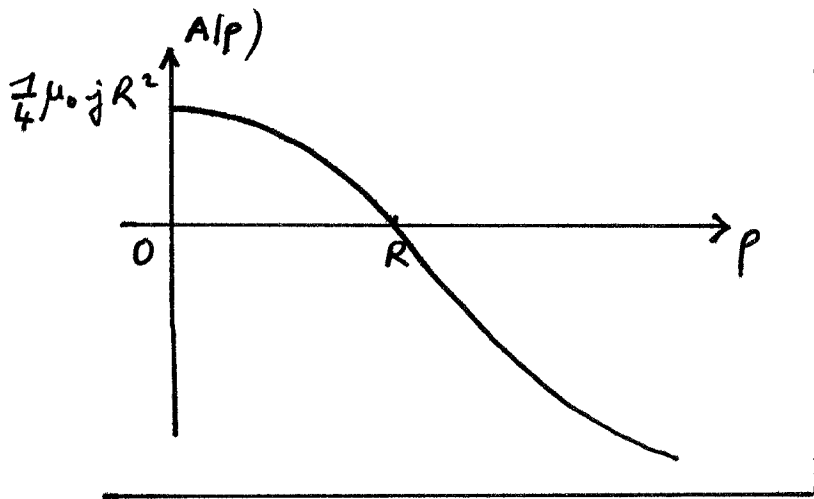
$A(\rho)$  est continue et  $A(R) = 0$  donc:  $C = \frac{1}{4} \mu_0 j R^2$

$$C' = \frac{1}{2} \mu_0 j R^2 \ln R$$

Finalement :

(3)

$$A(\rho) = \begin{cases} \frac{1}{4} \mu_0 j (R^2 - \rho^2) & \text{si } \rho < R \\ -\frac{1}{2} \mu_0 j R^2 \ln \frac{\rho}{R} & \text{si } \rho > R \end{cases}$$



NB:  $A(\rho)$  est  $\mathcal{C}^1$   
et a un point d'inflexion  
en  $\rho = R$  correspondant  
au maximum de  $B(\rho)$

d) Non, car  $\vec{B}$  n'est pas uniforme

3) a) Théorème d'Ampère pour le contour  $TT'U'U$ ? Il faut d'abord étudier la symétrie.

- Pour tout point  $M$ ,  $(M, \vec{u}_\rho, \vec{u}_\theta)$  est plan de symétrie donc  $\vec{B}(M)$  (pseudo-vecteur) est  $\parallel$  à  $\vec{u}_z$

- Il y a invariance par rotation autour de  $Oz$  et par translation selon  $Oz$  donc  $\vec{B}(M) \cdot \vec{u}_z$  ne dépend ni de  $\theta$ , ni de  $z$ .

Conclusion:  $\vec{B}(M) = B(\rho) \vec{u}_z$

Le théorème d'Ampère pour  $TT'U'U$  s'écrit :

$$\ell B(\rho) + 0 + 0 + 0 = \mu_0 I_{\text{enlacé}} = \mu_0 (n\ell) I$$

donc  $B(\rho) = \mu_0 n I$  (indépendant de  $\rho < R$ ), soit :

$$\underline{\vec{B}_{\text{int}} = \mu_0 n I \vec{u}_z}$$

b)  $\forall M$ ,  $(M, \vec{u}_\rho, \vec{u}_z)$  est plan d'antisymétrie donc  $\vec{A}(M) \parallel \vec{u}_\theta$

D'après les invariances:  $\vec{A}(M) = A(\rho) \vec{u}_\theta$

1<sup>ère</sup> méthode : d'après le formulaire

(4)

$$\text{rot } \vec{A} = \vec{B} \Leftrightarrow \frac{1}{\rho} \frac{d(\rho A(\rho))}{d\rho} = B(\rho)$$

Donc :

$$\frac{d}{d\rho} (\rho A(\rho)) = \begin{cases} \mu_0 n I \rho & \text{si } \rho < R \\ 0 & \text{si } \rho > R \end{cases}$$

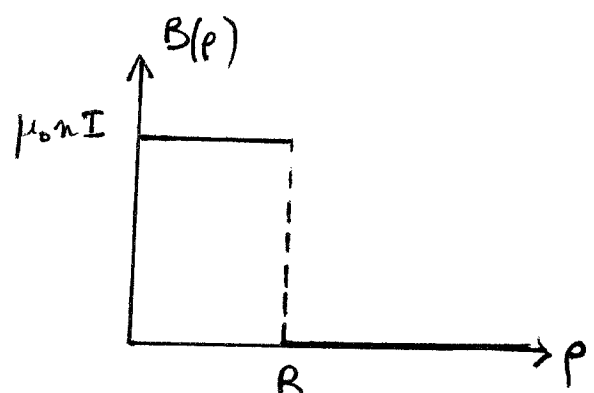
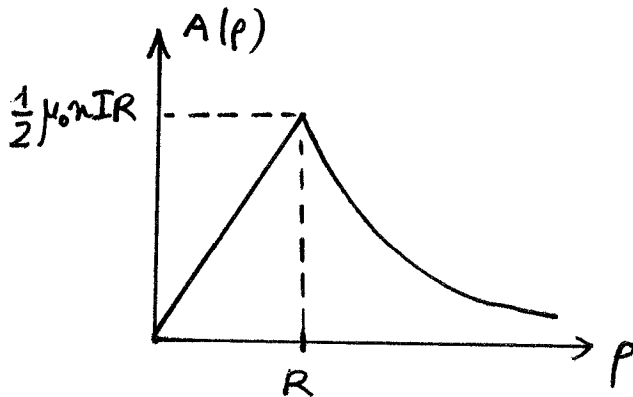
$$\Rightarrow A(\rho) = \begin{cases} \frac{1}{2} \mu_0 n I \rho + \frac{C}{\rho} & \text{si } \rho < R \\ \frac{C'}{\rho} & \text{si } \rho > R \end{cases}$$

$A(\rho)$  définie en  $\rho = 0$  donc  $C = 0$ , continue en  $\rho = R$  donc  $C' = \frac{1}{2} \mu_0 n I R^2$

Ainsi :

$$A(\rho) = \begin{cases} \frac{1}{2} \mu_0 n I \rho & \text{si } \rho < R \\ \frac{1}{2} \mu_0 n I \frac{R^2}{\rho} & \text{si } \rho > R \end{cases}$$

d)



2<sup>ème</sup> méthode (préciser par l'énoncé) :

$$\text{rot } \vec{A} = \vec{B} \Leftrightarrow \mathcal{C}_A(\Gamma) = \Phi_B(\mathcal{S})$$

On prend pour  $\Gamma$  un cercle d'axe  $Oz$  et rayon  $\rho$  orienté dans le sens direct autour de  $Oz$ . La relation s'écrit :

$$2\pi\rho A(\rho) = \begin{cases} \pi\rho^2 \times \mu_0 n I & \text{si } \rho < R \\ \pi R^2 \times \mu_0 n I & \text{si } \rho > R \end{cases}$$

D'où le même résultat.

c) Oui pour  $\rho < R$  (champ uniforme), non pour  $\rho > R$ .

4) a) Pour  $\rho < R$  :

(5)

$$\vec{B}_{int} = \mu_0 n i(t) \vec{u}_z$$

$$\begin{aligned} \vec{E}_{int} &= -\text{grad } V - \frac{\partial \vec{A}}{\partial t} = \vec{0} - \frac{\partial}{\partial t} \left( \frac{1}{2} \mu_0 n i(t) \rho \vec{u}_\theta \right) \\ &= -\frac{1}{2} \mu_0 n \frac{di}{dt} \rho \vec{u}_\theta \end{aligned} \quad \text{conforme à l'énoncé avec } \underline{k = \mu_0 n}$$

$$\begin{aligned} b) \quad w_{m,int} &= \frac{1}{2\mu_0} B_{int}^2 \\ &= \frac{k^2}{2\mu_0} i^2(t) = \frac{1}{2} \mu_0 n^2 i^2(t) \end{aligned}$$

$$- W_m = w_{m,int} \times \pi R^2 L = \frac{k^2}{2\mu_0} \pi R^2 L i^2(t)$$

car  $w_{m,int}$  est uniforme

$$\begin{aligned} - \vec{\Pi}_{int} &= \frac{1}{\mu_0} \vec{E}_{int} \wedge \vec{B}_{int} = \frac{1}{\mu_0} \left( -\frac{1}{2} k \frac{di}{dt} \rho \vec{u}_\theta \right) \wedge (k i \vec{u}_z) \\ &= -\frac{k^2}{2\mu_0} i \frac{di}{dt} \rho \vec{u}_\rho \end{aligned}$$

$$\begin{aligned} - \Phi_\Pi &= \iint_{\mathcal{E}} \vec{\Pi}_{int} \cdot d\vec{S} = \iint_{\mathcal{E}} -\frac{k^2}{2\mu_0} i \frac{di}{dt} R dS \\ \mathcal{E}: \text{cylindre de rayon } R & \\ \text{et longueur } L & \\ &= -\frac{k^2}{2\mu_0} i \frac{di}{dt} R \times 2\pi R L \\ &= -\frac{k^2}{\mu_0} i \frac{di}{dt} \pi R^2 L \end{aligned}$$

$$c) \quad \Phi_\Pi = - \frac{dW_m}{dt}$$

L'énergie entrant dans le solénoïde par rayonnement  $\gamma$  est stockée sous forme d'énergie magnétique.

$$d) - w_{el,int} = \frac{1}{2} \epsilon_0 E_{int}^2$$

$$= \frac{1}{8} k^2 \epsilon_0 \left(\frac{di}{dt}\right)^2 \rho^2$$

$$- W_{el,int} = \iiint_{\text{volume}} w_{el,int} d\tau =$$

$$= \int_{\rho=0}^R \int_{\theta=0}^{2\pi} \int_{z=-\frac{L}{2}}^{+\frac{L}{2}} \frac{1}{8} k^2 \epsilon_0 \left(\frac{di}{dt}\right)^2 \rho^2 \times \rho d\rho d\theta dz$$

$$= \frac{1}{8} k^2 \epsilon_0 \left(\frac{di}{dt}\right)^2 \left(\int_0^R \rho^3 d\rho\right) \times 2\pi \times L$$

$$= \frac{\pi k^2 \epsilon_0}{16} \left(\frac{di}{dt}\right)^2 L R^4$$

e) Il faut :  $L \ll \frac{2\pi}{\omega} \times c$  soit  $\omega \ll \frac{2\pi c}{L}$

f)  $\langle W_m \rangle = \frac{k^2}{4\mu_0} \pi R^2 L I_0^2$  ,  $\langle W_{el} \rangle = \frac{\pi k^2 \epsilon_0}{32} (I_0 \omega)^2 L R^4$

car  $\langle i^2(t) \rangle = \frac{1}{2} I_0^2$  ,  $\langle \left(\frac{di}{dt}\right)^2 \rangle = \frac{1}{2} (I_0 \omega)^2$

$$\frac{\langle W_{el} \rangle}{\langle W_m \rangle} = \frac{1}{8} \epsilon_0 \mu_0 \omega^2 R^2 = \frac{\omega^2 R^2}{8c^2}$$

Ce rapport est  $\ll 1$ , car il est  $\ll \frac{\omega^2 L^2}{8c^2}$  lui-même  $\ll \frac{\pi^2}{2} \sim 1$

Partie 2

1) Les forces agissant sur la masse  $m$  dans le référentiel  $\mathcal{R}$ :

- son poids :  $mg \vec{u}_z$
- l'action du ressort :  $-k(\Delta l_{eq} + z) \vec{u}_z$  où  $\Delta l_{eq}$  est l'allongement du ressort à l'équilibre
- l'action de l'amortisseur :  $-\mu \frac{dz}{dt} \vec{u}_z$
- la force d'inertie d'entraînement :  $-m\vec{a} = ma \vec{u}_z$  car  $\mathcal{R}$  est non galiléen

Le théorème de la résultante cinétique s'écrit, dans  $\mathcal{R}$ :

$$m \frac{d^2 z}{dt^2} = mg - k(\Delta l_{eq} + z) - \mu \frac{dz}{dt} + ma$$

Mais  $z=0$  est solution (équilibre) donc  $k\Delta l_{eq} = mg$ .

Il reste :

$$m \frac{d^2 z}{dt^2} + \mu \frac{dz}{dt} + kz = ma$$

2) L'équation précédente s'écrit :

$$m(j\omega)^2 \underline{z} + \mu(j\omega) \underline{z} + k \underline{z} = m \underline{a}$$

soit 
$$\underline{z} = \frac{m}{-m\omega^2 + j\mu\omega + k} \underline{a}$$

donc 
$$\underline{H}(j\omega) = \frac{\frac{m}{k}}{1 + j\frac{\mu}{k}\omega - \frac{m\omega^2}{k}}$$

qui est de la forme annoncée avec :  $H_0 = \frac{m}{k}$ ,  $\omega_0 = \sqrt{\frac{k}{m}}$

et 
$$\xi = \frac{\mu}{2\sqrt{mk}}$$

AN :  $\underline{H_0 = 2,49 \cdot 10^{-6} \text{ s}^2}$  ,  $\underline{\omega_0 = 634,1 \text{ rad.s}^{-1}}$  ,  $\underline{\xi = 1,23}$

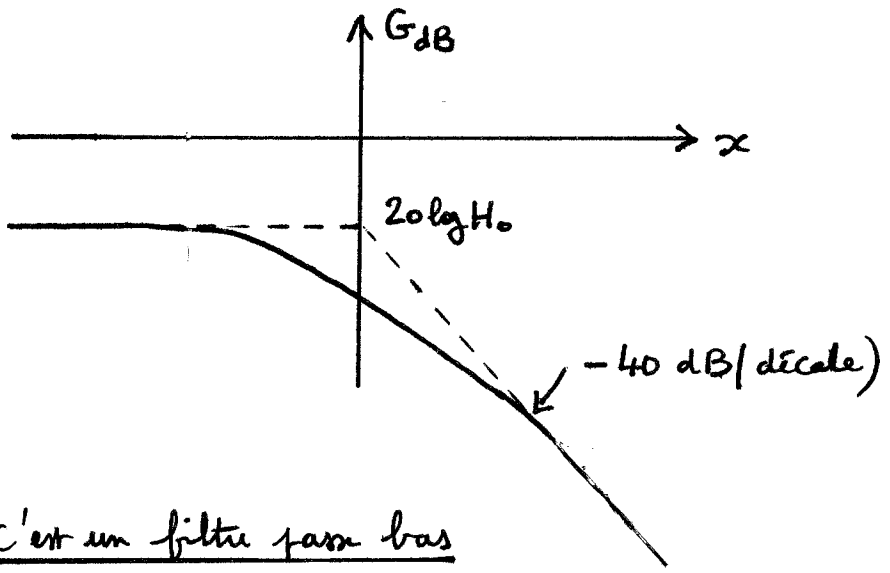
3) Posons  $x = \frac{\omega}{\omega_0}$ .

$$G(x) = |H| = \frac{H_0}{\sqrt{(1-x^2)^2 + 4\xi^2 x^2}}$$

$$\begin{aligned} - \frac{d}{dx} \left( (1-x^2)^2 + 4\xi^2 x^2 \right) &= \frac{d}{dx} \left( 1 + (4\xi^2 - 2) x^2 + x^4 \right) \\ &= 2x \left( \underbrace{(4\xi^2 - 2)}_{>0} + 2x^2 \right) \text{ ne s'annule jamais sauf en } x=0 \end{aligned}$$

donc G(x) est décroissante.

- Si  $x \ll 1$ ,  $G(x) \approx H_0$  et  $G_{dB} \approx 20 \log H_0$
- Si  $x \gg 1$ ,  $G(x) \approx \frac{H_0}{x^2}$  et  $G_{dB} \approx 20 \log H_0 - 40 \log x$



C'est un filtre passe bas

4) On veut  $\underline{H}$  quasiment réel, ce qui est le cas pour  $\underline{\omega \ll \omega_0}$   
 Alors  $\underline{z} \approx H_0 a$ . (car  $\underline{H} \approx H_0$ ).

$$5) \underline{C_0 = \epsilon_0 \frac{S}{\delta} = 141 \text{ pF}}$$

$$6) \underline{C_1 = \epsilon_0 \frac{S}{\delta+z}} \quad , \quad \underline{C_2 = \epsilon_0 \frac{S}{\delta-z}}$$

$$\underline{\Delta C = \epsilon_0 S \left( \frac{1}{\delta-z} - \frac{1}{\delta+z} \right) = \frac{2\epsilon_0 S z}{\delta^2 - z^2}}$$



Pour  $z \ll \delta$ ,  $\Delta C \approx \frac{2\epsilon_0 S}{\delta^2} z$   $\chi = \frac{2\epsilon_0 S}{\delta^2} = 2,82 \cdot 10^{-6} \text{ F.m}^{-1}$  (9)

7)  $q = -C_1(v_1 - 0) - C_2(v_2 - 0)$   
 $q = -(C_1 v_1 + C_2 v_2)$

Si  $v_2 = -v_1$  et si le déplacement  $z$  est faible :

$q = (C_2 - C_1)v_1 = \Delta C v_1 = \chi v_1 z$

8)  $E_i = \frac{v_i}{\delta} \sim \frac{15V}{100 \cdot 10^{-6} \text{ m}} = 150 \cdot 10^3 \text{ V.m}^{-1}$

Le champ est environ  $\frac{1}{20}$  du champ disruptif de l'air.

Si  $z$  reste faible, l'épaisseur  $\delta - z$  (ou  $\delta + z$ ) ne sera jamais assez faible pour que l'on dépasse le champ maximal.

9)  $W_{ei} = \frac{1}{2} C_i v_i^2 = \frac{1}{2} \epsilon_0 \frac{S}{\delta \pm z} v_i^2$

$W_{el} = W_{e1} + W_{e2} = \frac{1}{2} \epsilon_0 S \left( \frac{v_1^2}{\delta + z} + \frac{v_2^2}{\delta - z} \right)$

10) et 11)  $\vec{F}_{el} = \frac{dW_{el}}{dz} \vec{u}_z$   
 $= -\frac{1}{2} \epsilon_0 S \left( \frac{v_1^2}{(\delta + z)^2} - \frac{v_2^2}{(\delta - z)^2} \right) \vec{u}_z$   
 $= \frac{1}{2} \frac{\epsilon_0 S}{\delta^2} \left( \frac{-v_1^2}{\left(1 + \frac{z}{\delta}\right)^2} + \frac{v_2^2}{\left(1 - \frac{z}{\delta}\right)^2} \right) \vec{u}_z$   
 $= \frac{1}{2} \frac{C_0}{\delta} \left( -\frac{v_1^2}{\left(1 + \frac{z}{\delta}\right)^2} + \frac{v_2^2}{\left(1 - \frac{z}{\delta}\right)^2} \right) \vec{u}_z$

12) Si  $z \ll \delta$ ,  $\vec{F}_{el} \approx \frac{1}{2} \frac{C_0 v_1^2}{\delta} \left( -1 + \frac{2z}{\delta} + 1 + \frac{2z}{\delta} \right) \vec{u}_z$

mit  $\vec{F}_{el} \approx 2 \frac{C_0 U^2}{\delta} z \vec{u}_z$

$$v_1^2 = U^2 \sin^2(\omega_1 t) = \underbrace{\frac{1}{2} U^2}_{\text{Composante Continue}} - \underbrace{\frac{1}{2} U^2 \cos(2\omega_1 t)}_{\text{fréquence } 2f_1 = 20 \text{ kHz}}$$

13)  $2f_1 \gg \frac{\omega_0}{2\pi} \approx 100 \text{ Hz}$  donc la composante variable sera coupée par le filtre passe-bas.

Alors il reste:  $\vec{F}_{el} \approx \frac{C_0 U^2}{\delta} z \vec{u}_z$

soit  $K_{el} = \frac{C_0 U^2}{\delta} = 3,2 \text{ N.m}^{-1}$

14) Il faut remplacer  $k$  par  $k - K_{el}$ .

$$H'_0 = \frac{m}{k - K_{el}} = 3 \cdot 10^{-6} \text{ s}^2$$

$$\omega'_0 = \sqrt{\frac{k - K_{el}}{m}} = 607 \text{ rad.s}^{-1}$$

et  $\xi' = \frac{\mu}{\sqrt{m(k - K_{el})}} = 1,3$

15)  $z_{max} = 0,3 \delta$

$$a_{max} = z_{max} / H'_0 = 11 \text{ ms}^{-2}$$

Partie 3

1)  $\vec{E} = -\vec{\text{grad}}V = -E \vec{u}_z$ , uniforme

$\Rightarrow V = Ez + C^{\text{te}}$ . Ains:  $U = V_{(z=L)} - V_{(z=0)} = EL$ ,

soit  $E = \frac{U}{L} = 3,0 \cdot 10^4 \text{ V.m}^{-1}$

2)  $\vec{F}_{EM} = (-e) (\vec{E} + \vec{v} \wedge \vec{B})$

3) On applique le principe fondamental de la dynamique à l'électron  $e_i$ :

$m_e \frac{d\vec{v}}{dt} = \vec{F}_{EM} - \mu \vec{v}$

soit en projection:

$$\left\{ \begin{array}{l} m_e \frac{dv_x}{dt} = -eBv_y - \mu v_x \quad (1) \\ m_e \frac{dv_y}{dt} = eBv_x - \mu v_y \quad (2) \\ m_e \frac{dv_z}{dt} = eE - \mu v_z \quad (3) \end{array} \right.$$

4) (3) a pour solution:  $v_z(t) = \frac{eE}{\mu} + Ce^{-\frac{t}{\tau}}$

avec  $\tau = \frac{m_e}{\mu}$

C.I.:  $v_z(0) = \vec{v}_e \cdot \vec{u}_z$  donc

$v_z(t) = \left( \vec{v}_e \cdot \vec{u}_z - \frac{eE}{\mu} \right) e^{-\frac{t}{\tau}} + \frac{eE}{\mu}$

$v_{\text{lim}} = \frac{eE}{\mu} = 5,0 \cdot 10^4 \text{ m.s}^{-1}$

Si  $\vec{v}_e \cdot \vec{u}_z \ll v_{\text{lim}}$ ,  $v_z(t) \approx v_{\text{lim}} (1 - e^{-\frac{t}{\tau}})$

La condition est :  $\forall t > T, e^{-\frac{t}{\tau}} < \frac{1}{100} \Leftrightarrow t > \tau \ln 100$

$$\underline{T = \tau \ln(100) \approx 4,6 \tau = 4,3 \cdot 10^{-1} \text{ s}}$$

5) (1) + i(2) donne :

$$m_e \frac{du}{dt} = (ieB - \mu)u \Leftrightarrow \frac{du}{dt} = \left(-\frac{1}{\tau} + i\omega_e\right)u$$

La solution est :

$$u(t) = C \exp\left(\left(-\frac{1}{\tau} + i\omega_e\right)t\right) = C e^{-\frac{t}{\tau}} e^{i\omega_e t}$$

La C.I. :  $u(0) = \vec{v}_e \cdot \vec{u}_x = C$ .

Il vient ainsi :

$$\underline{v_x(t) = \text{Re}(u(t)) = \vec{v}_e \cdot \vec{u}_x e^{-\frac{t}{\tau}} \cos(\omega_e t)}$$

$$\underline{v_y(t) = \text{Im}(u(t)) = \vec{v}_e \cdot \vec{u}_x e^{-\frac{t}{\tau}} \sin(\omega_e t)}$$

6) Pour  $t > T, e^{-\frac{t}{\tau}} < \frac{1}{100}$ , on peut donc dire que :

$$v_x \approx 0, v_y \approx 0 \text{ et } v_z \approx v_{\text{lim}}$$

donc l'électron  $e_i$  a pratiquement un mouvement rectiligne  
et uniforme pour  $t > T$

$$\text{Alors : } \Delta t \approx \frac{L - z}{v_{\text{lim}}} \text{ soit } \underline{z \approx L - v_{\text{lim}} \Delta t}$$

La mesure de  $\Delta t$  permet de trouver la coordonnée  $z$  du lieu  
d'immersion de  $e_i$ .

7) a)  $\underline{W' = eU' = 2,4 \cdot 10^{-16} \text{ J}}$  (énergie apportée à un électron  
par la différence de potentiel  
 $U'$ )

b) Nombre d'ionisations :

$$\underline{N = \frac{1}{2} \frac{W'}{E_i} = \frac{1}{2} \frac{2,4 \cdot 10^{-16}}{1520 \cdot 10^3} \times N_A \approx 48}$$

8) a) Symétries :

$(M, \vec{u}_r, \vec{u}_z)$  et  $(M, \vec{u}_r, \vec{u}_\theta)$  sont plans de symétrie  
donc  $\vec{E}_f(M)$ , un vecteur, est  $\parallel \vec{u}_z$ .

Invariances: par translation parallèlement à  $Oz$  et par rotation autour de  $Oz$  donc  $\|\vec{E}_f(M)\|$  ne dépend ni de  $z$  ni de  $\theta$ , de même que  $V_f(M)$

Finalement :

$$\boxed{\vec{E}_f(M) = E_f(r) \vec{u}_z} \quad \text{et} \quad \boxed{V_f(M) = V_f(r)}$$

b) Théorème de Gauss pour un cylindre d'axe  $Oz$ , de rayon  $r > a$  quelconque et hauteur  $h$  :

$$2\pi r h \times E_f(r) = \frac{q}{\epsilon_0}$$

$$\text{soit } \boxed{E_f(r) = \frac{q}{2\pi\epsilon_0 h r} = \frac{\lambda}{2\pi\epsilon_0 r}} \quad (\text{pour } r > a)$$

De plus:  $\vec{E}_f = -\text{grad } V_f = -\frac{dV_f}{dr} \vec{u}_r$  donc

$$\boxed{V_f(r) = -\frac{\lambda}{2\pi\epsilon_0} \ln r + C} \quad (\text{pour } r > a)$$

c) Pour  $r < a$ , on est dans le métal du fil donc:

$$\boxed{\vec{E}_f = \vec{0}} \quad \text{et} \quad \boxed{V_f(r) = C^e = -\frac{\lambda}{2\pi\epsilon_0} \ln R + C}$$

9) a) En utilisant le résultat du 8) et le théorème de superposition on trouve :

$$V(M) = -\frac{\lambda_+}{2\pi\epsilon_0} \ln r_1 - \frac{\lambda_-}{2\pi\epsilon_0} \ln r_2 + C$$

$$\boxed{V(M) = \frac{q}{2\pi\epsilon_0 h} \ln \frac{r_2}{r_1}} + \text{const} = 0 \text{ d'après l'énoncé}$$

b) La différence de potentiel entre les deux fils est :

$$V_1 - V_2 = \frac{q}{2\pi\epsilon_0 h} \left( \ln\left(\frac{d-a}{a}\right) - \ln\left(\frac{a}{d-a}\right) \right)$$

$$= \frac{q}{\pi\epsilon_0 h} \ln\left(\frac{d-a}{a}\right)$$

d'où la capacité :

$$C = \frac{q}{V_1 - V_2} = \frac{\pi\epsilon_0 h}{\ln\left(\frac{d-a}{a}\right)} = 0,40 \cdot 10^{-13} \text{ F}$$

10)  $q_0 = CW = 4,0 \cdot 10^{-14} \text{ C}$

• Charge des  $e^-$  de l'avalanche:  $10^5 \times 48 \times (-e) = -1,6 \cdot 10^{-14} \text{ C}$

$q_1 = 4,0 \cdot 10^{-14} - 1,6 \cdot 10^{-14} = 2,4 \cdot 10^{-14} \text{ C}$

11)  $U_R = Ri = R \frac{dq}{dt} = R \frac{d}{dt} (C(W - U_R)) = -RC \frac{dU_R}{dt}$

$U_R + RC \frac{dU_R}{dt} = 0$  donc  $U_R(t) = U_R(0) e^{-\frac{t}{RC}}$

At  $t=0$ ,  $q = q_1$ ,  $U_R(0) = W - \frac{q_1}{C} = \frac{q_0 - q_1}{C}$

Enfinement:  $U_R(t) = \frac{q_0 - q_1}{C} \exp\left(-\frac{t}{RC}\right)$

12) 1 seul électron n'est pas suffisant pour que  $q_1$  soit notablement différent de  $q$ .

Lorsque  $e_i$  arrive au voisinage de la grille il déclenche une avalanche sur 1 fil horizontal et 1 fil vertical. En déterminant ces fils, on peut donner les coordonnées  $x$  et  $y$  de ce point.